

Quelques aspects de la réalisation matérielle d'un décodeur *LDPC*

François VERDIER
David DECLERCQ
Jean-Marc Philippe

« Equipes Traitement des Images et du Signal »

ETIS

UMR CNRS 8051

<http://www.etis.ensea.fr>



F. Verdier



Journée GDR ISIS / LDPC

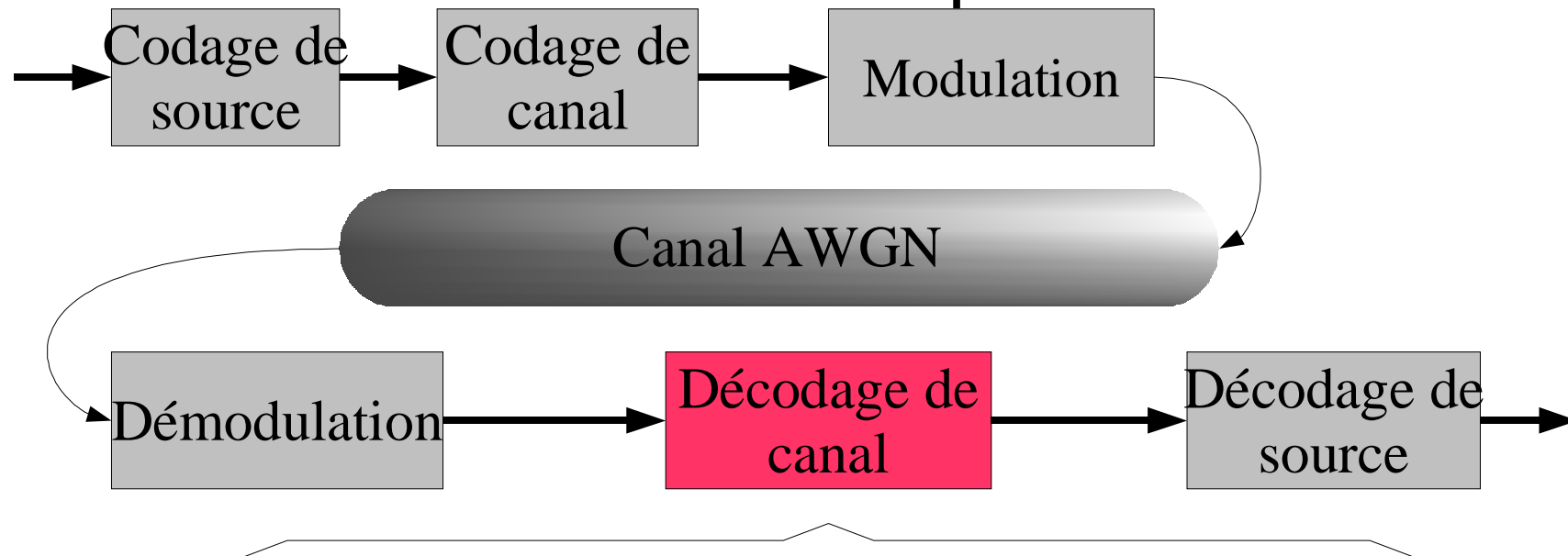


19/12/2002

Quelques aspects de la réalisation matérielle d'un décodeur *LDPC*

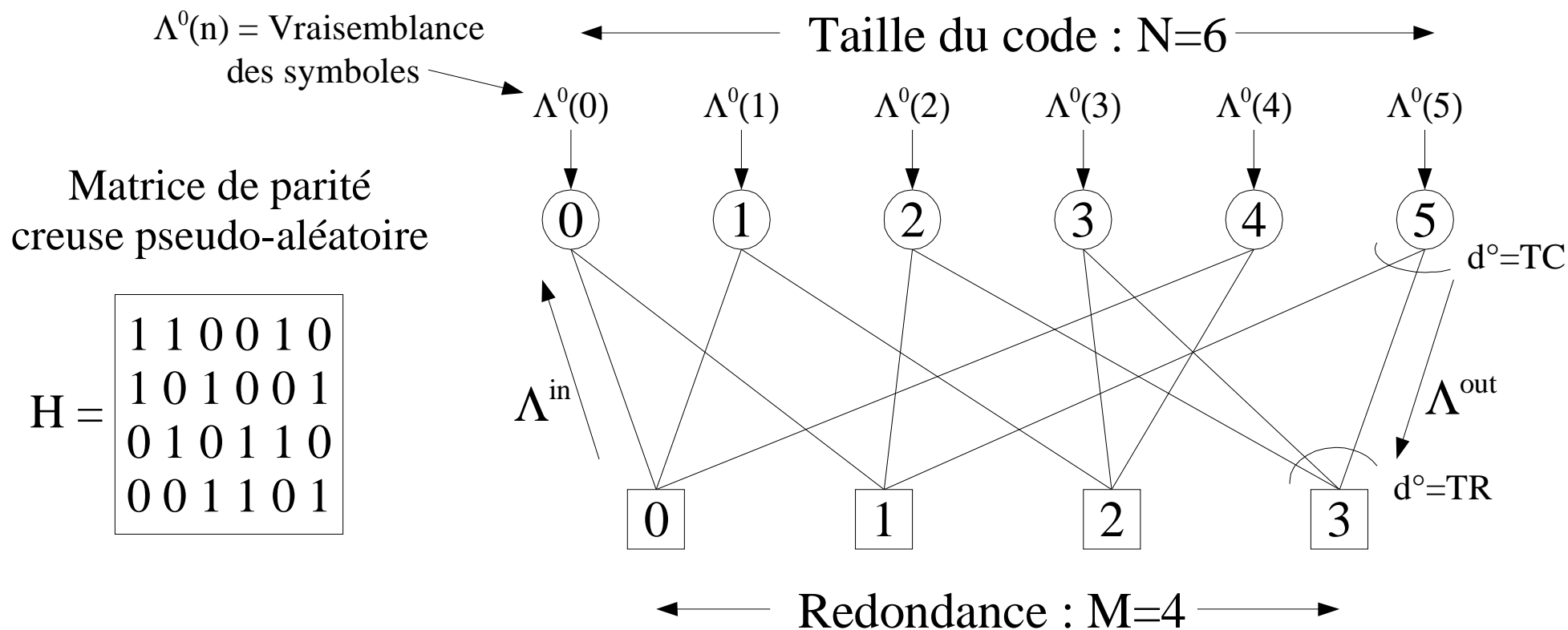
1. Les codes *LDPC*
2. La classe des codes congruents réguliers
3. Architecture et parallélisation du décodeur
4. Conséquences du calcul en précision finie

1. Les codes *LDPC* dans les transmissions radio-numériques



- Codes « blocs » à vérification de parité de grande taille (10^4 à 10^6)
- Canaux fortement bruités (RSB = qq dB)
- Débits importants ($> \text{Msymb./sec.}$)
- Rendements variables

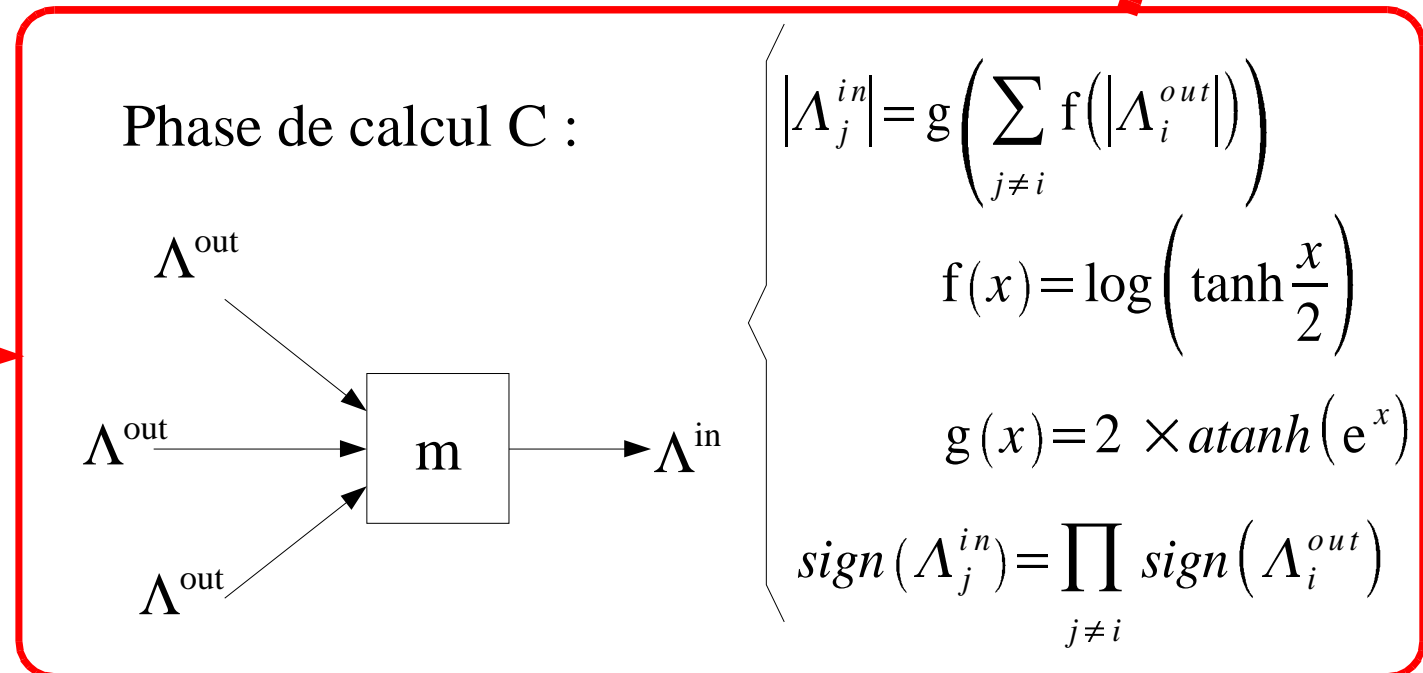
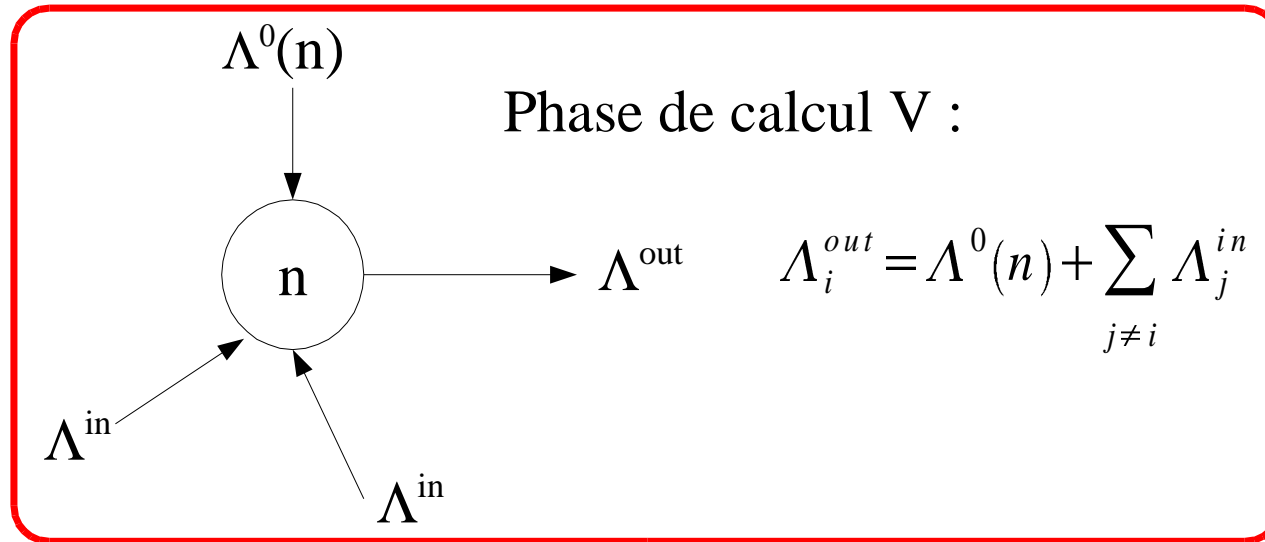
Représentation graphique d'un code *LDPC*



Λ^{in} et Λ^{out} : messages échangés sur les branches

Code LDPC régulier (6,4,2,3) de rendement $\frac{1}{2}$

Algorithme de décodage (Log-BP)



Problème d'Adéquation Algorithme / Architecture

Matrice de décodage pseudo-aléatoire \longrightarrow **Codage ? Stockage ?**

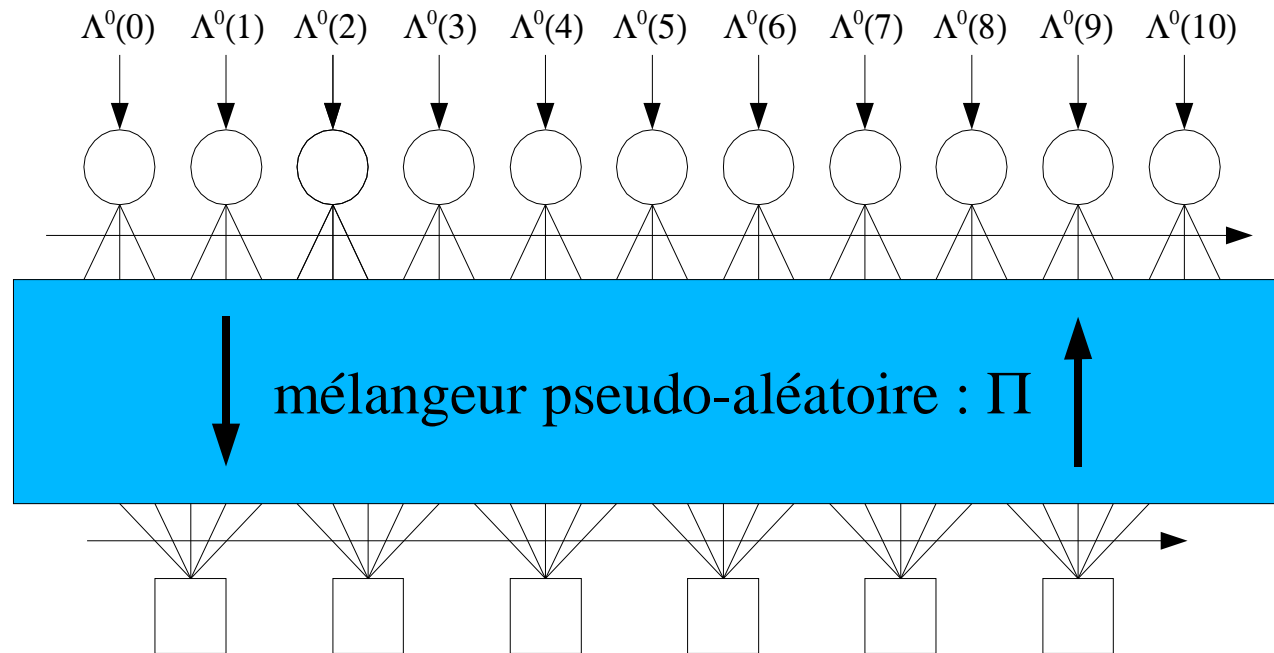
Codes de grande taille (10^4 à 10^6) \longleftrightarrow **Grande quantité de mémoire**

Taille de code variable \longrightarrow **Parallélisation / scalabilité ?**

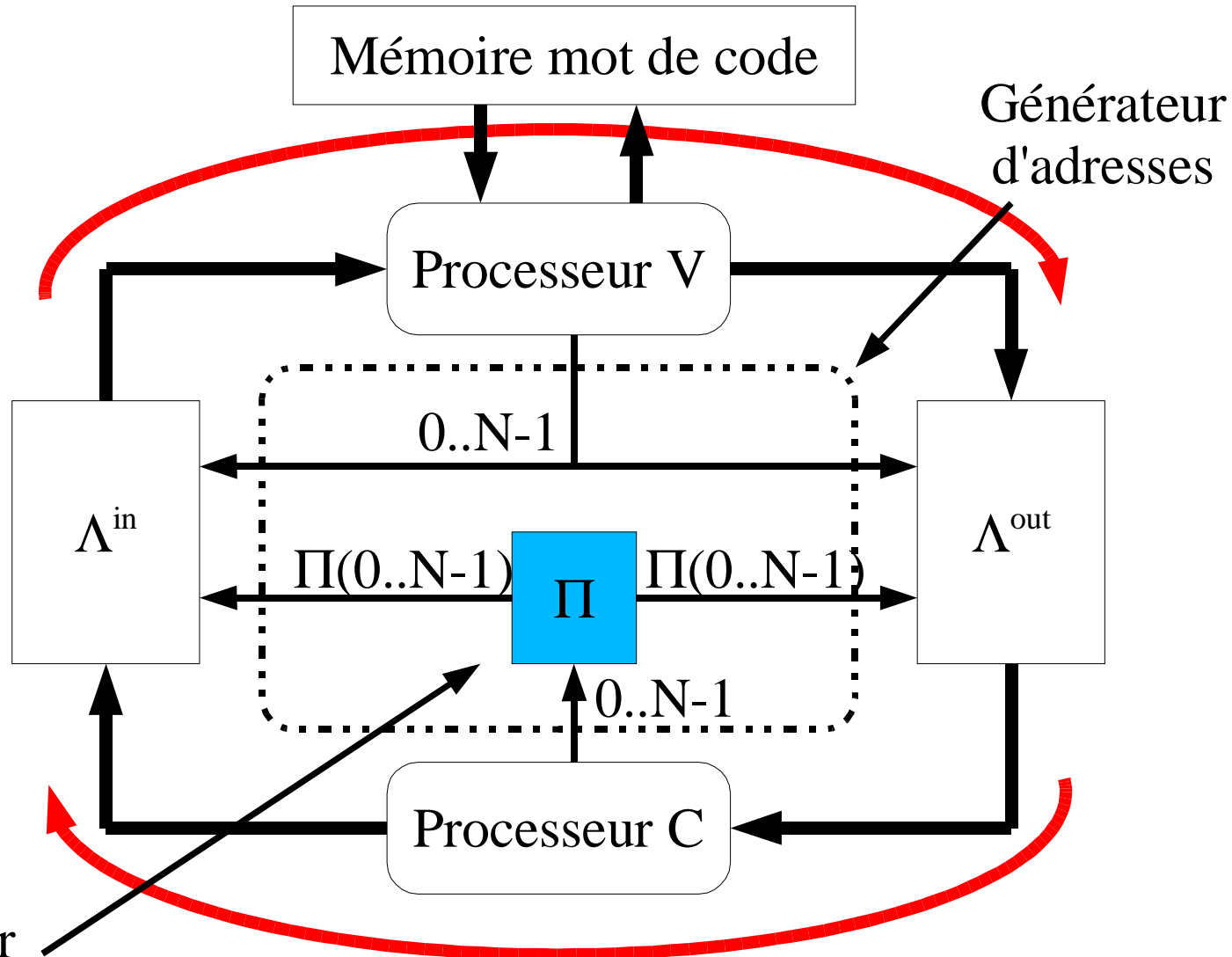
Impact architectural du code pseudo-aléatoire

Les messages Λ^{in} et Λ^{out} sont stockés en mémoire
Les branches sont parcourues séquentiellement dans l'ordre naturel

Parcours des branches / parcours des adresses ?



Solution proposée :



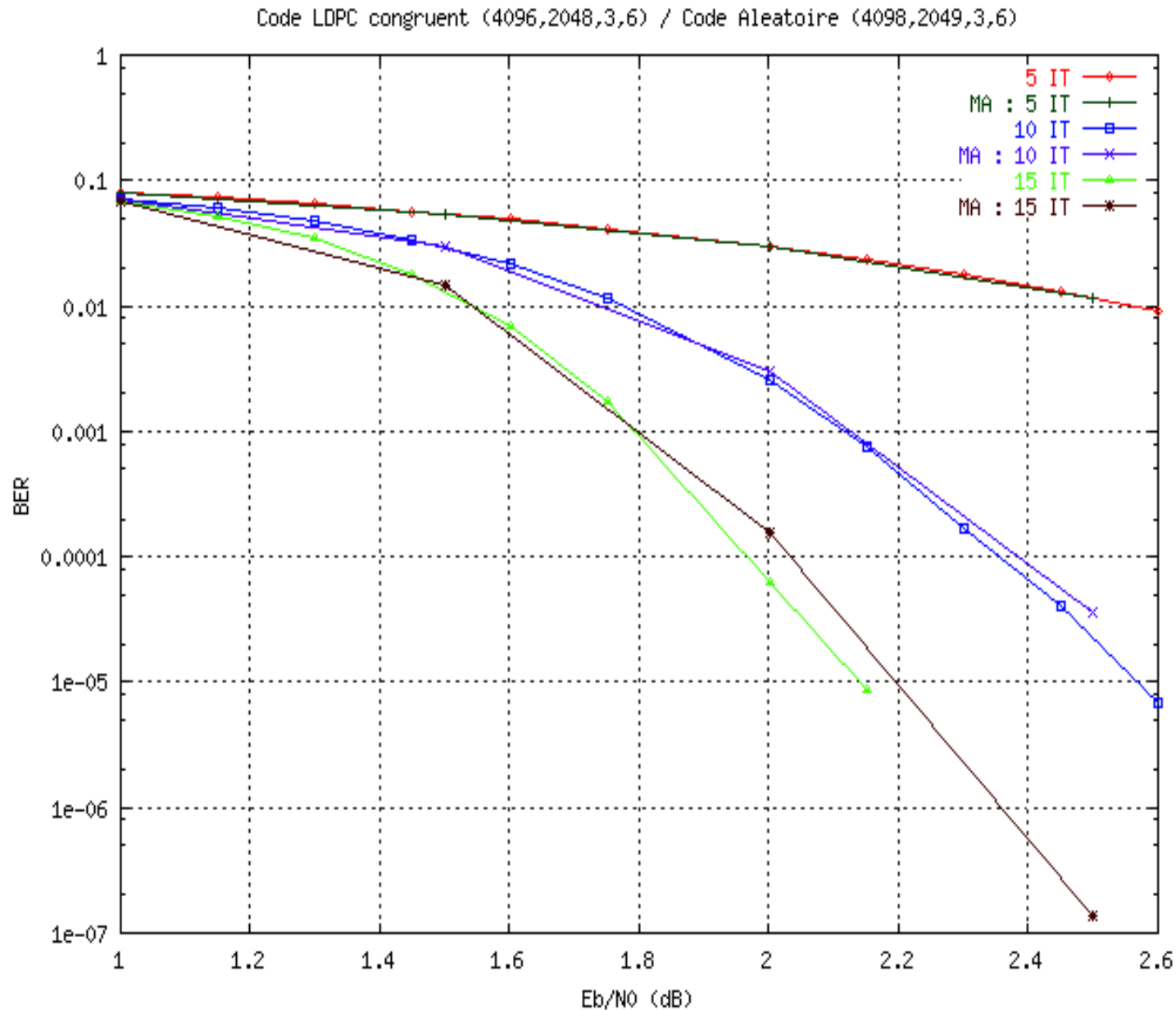
mélangeur
pseudo-aléatoire
F. Verdier

2. Une classe de codes facilement implantables : les codes congruents

- Le caractère pseudo-aléatoire de la matrice de décodage est incompatible avec un stockage ou un calcul simple des adresses des messages
- Adresses calculées par un générateur congruent et récursif [Prabhakar2002]
 - Pas de stockage de la matrice
 - Paramétrage simple du générateur congruent

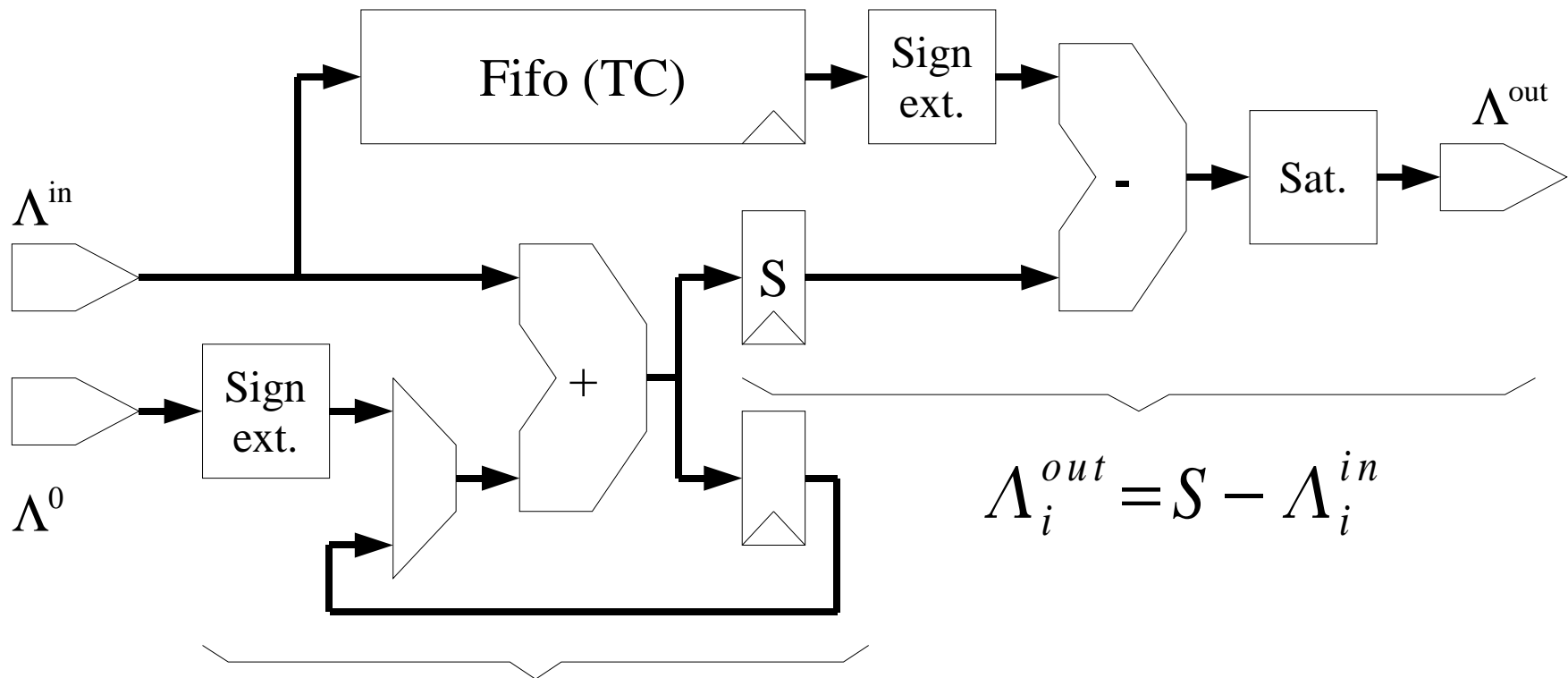
$$\Pi_{n+1} = (a \times \Pi_n + b) \bmod (N_b)$$

Performances des codes congruents réguliers :



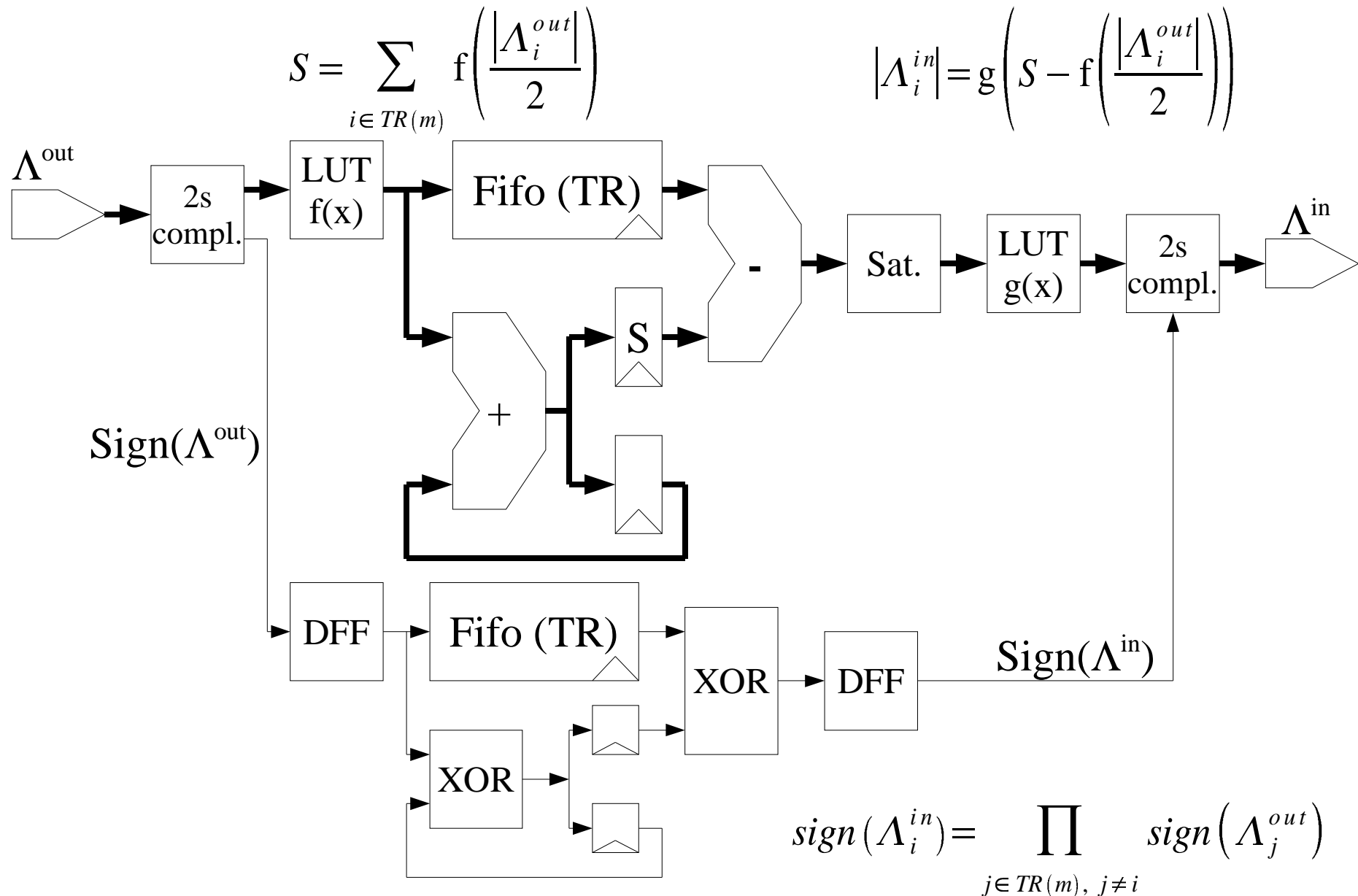
3. Architecture du décodeur

3.1) Implantation pipeline du processeur V



$$S = \Lambda^0(n) + \sum_{i \in TC(n)} \Lambda_i^{in}$$

3.2) Implantation pipeline du processeur C

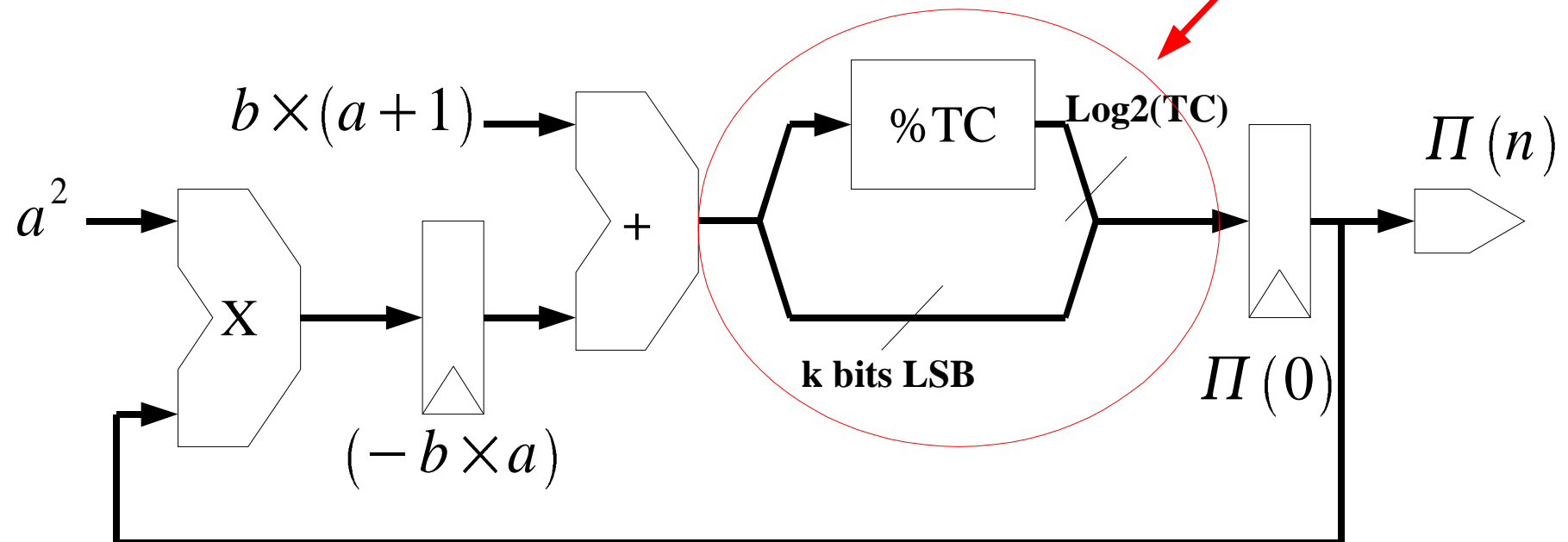


3.3) Implantation du générateur congruent

Implantation pipeline du générateur pseudo-aléatoire récursif :

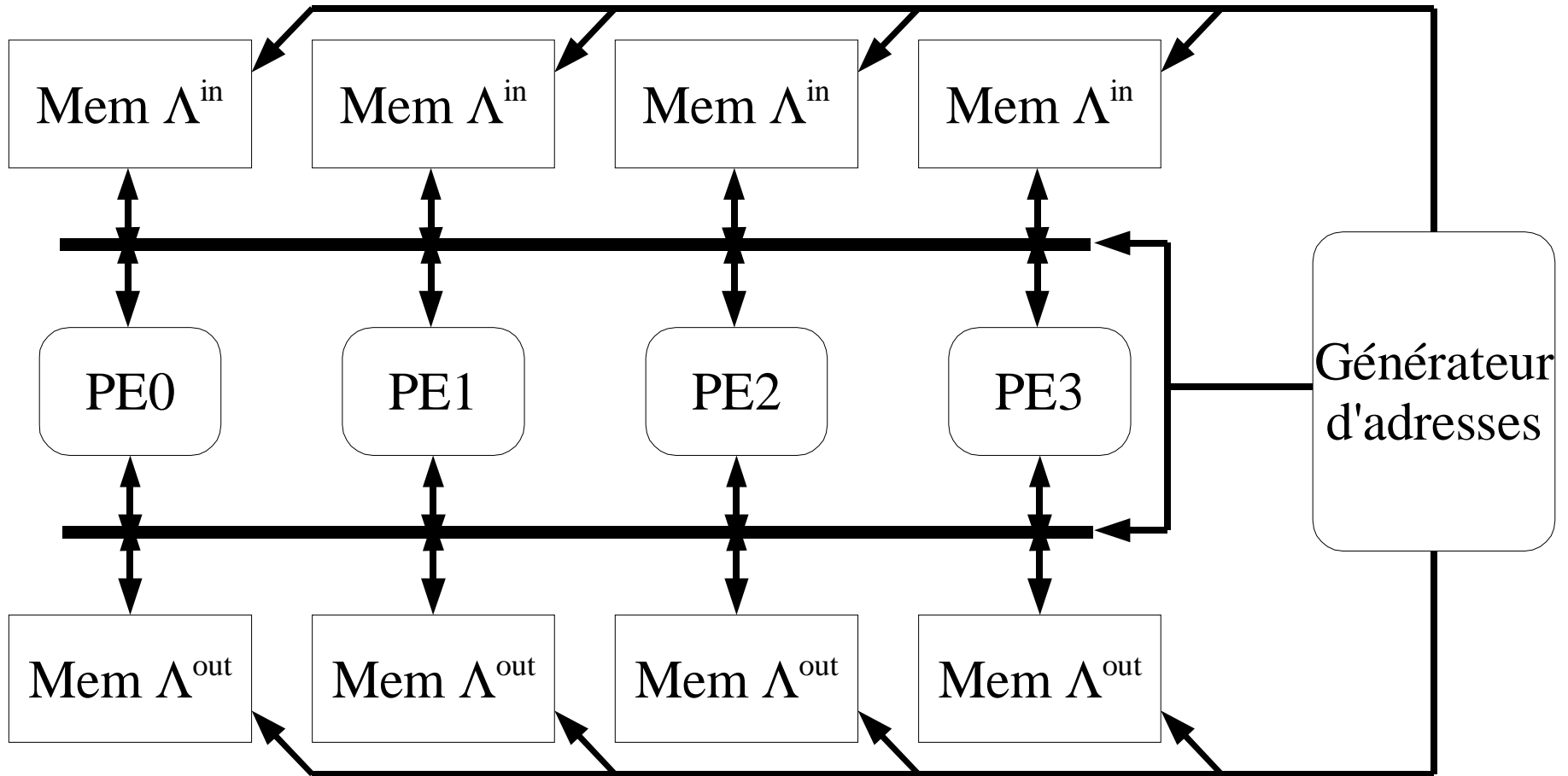
$$\Pi(n+1) = (a \times \Pi(n) + b) \bmod(N_b) \quad \text{Impossible en 1 cycle à 100Mhz !}$$

$$\Rightarrow \Pi(n+2) = (a^2 \times \Pi(n) + b \times (a+1)) \bmod(TC \cdot 2^k)$$



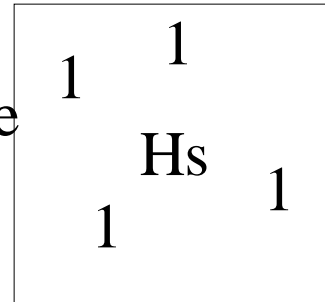
Parallélisation du décodage

Processeurs parallèles synchrones + 2 réseaux de routage

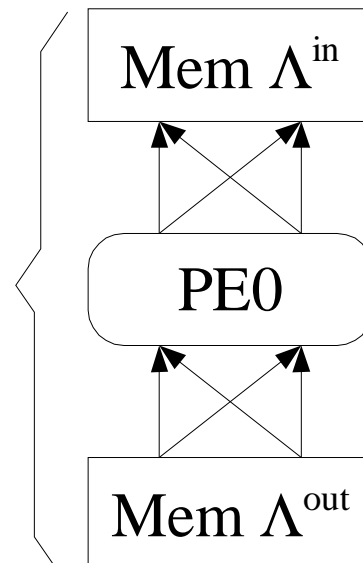


Construction du code parallèle (2PE)

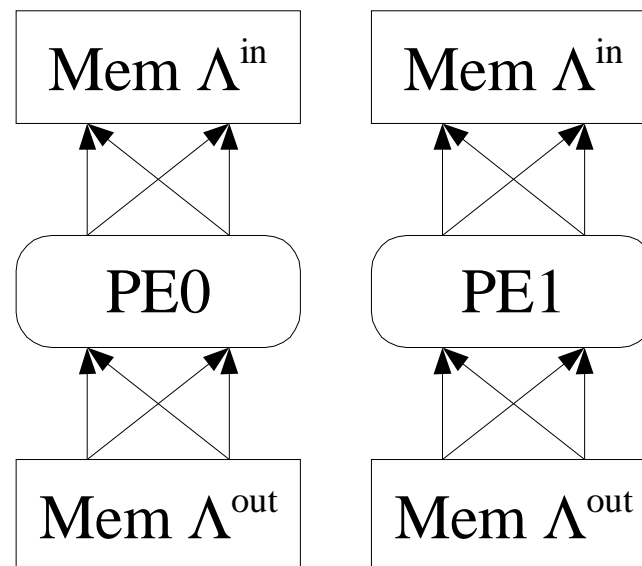
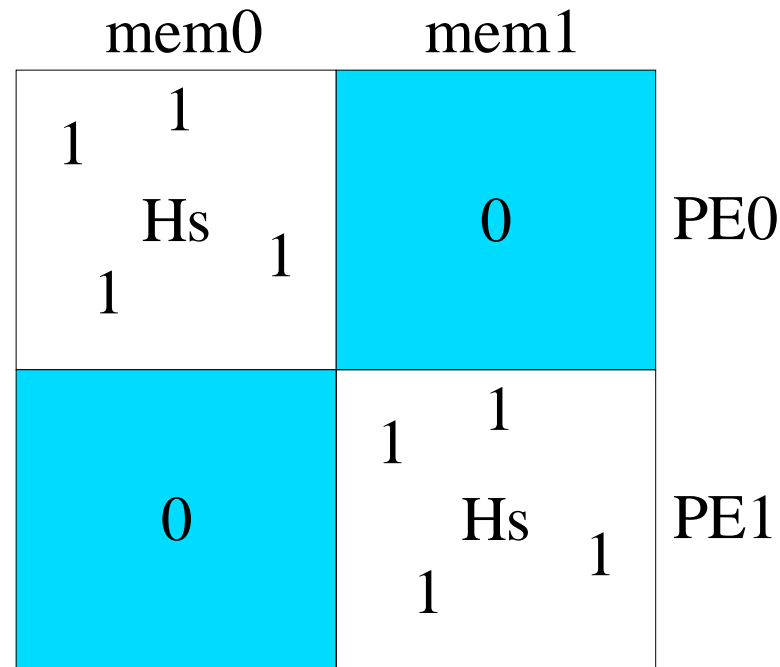
matrice structurante
congruente



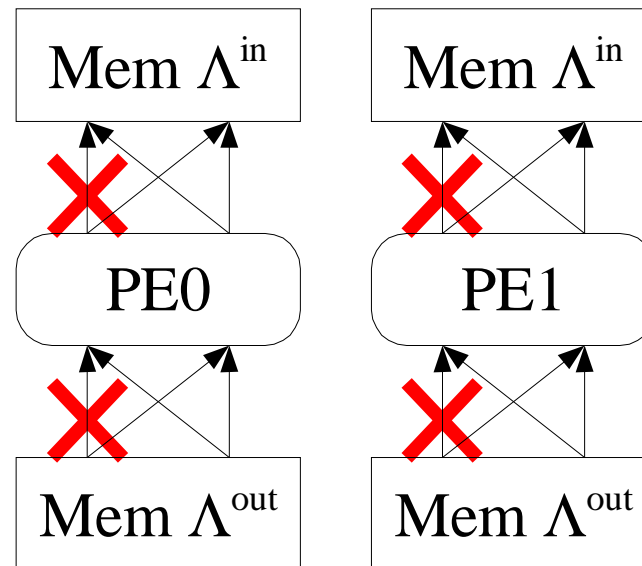
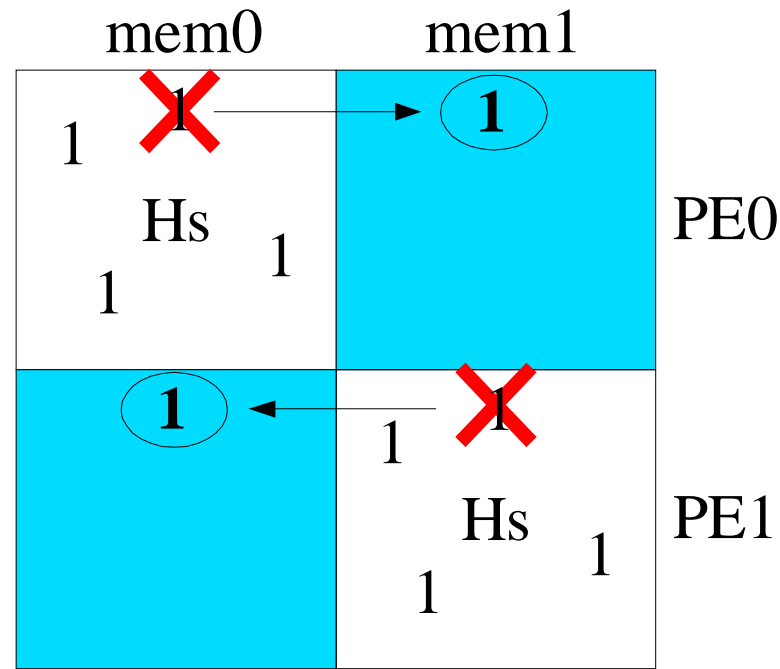
phase de calcul du
processeur C



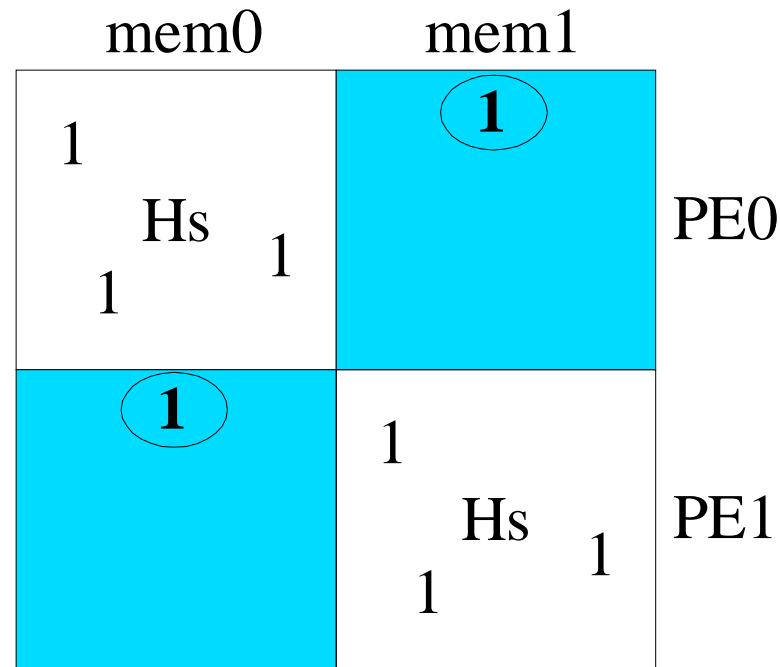
Construction du code parallèle (2PE)



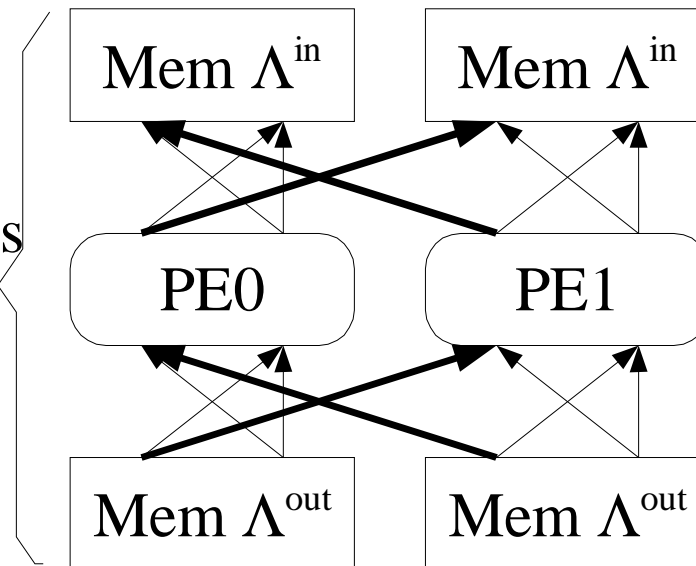
Construction du code parallèle (2PE)



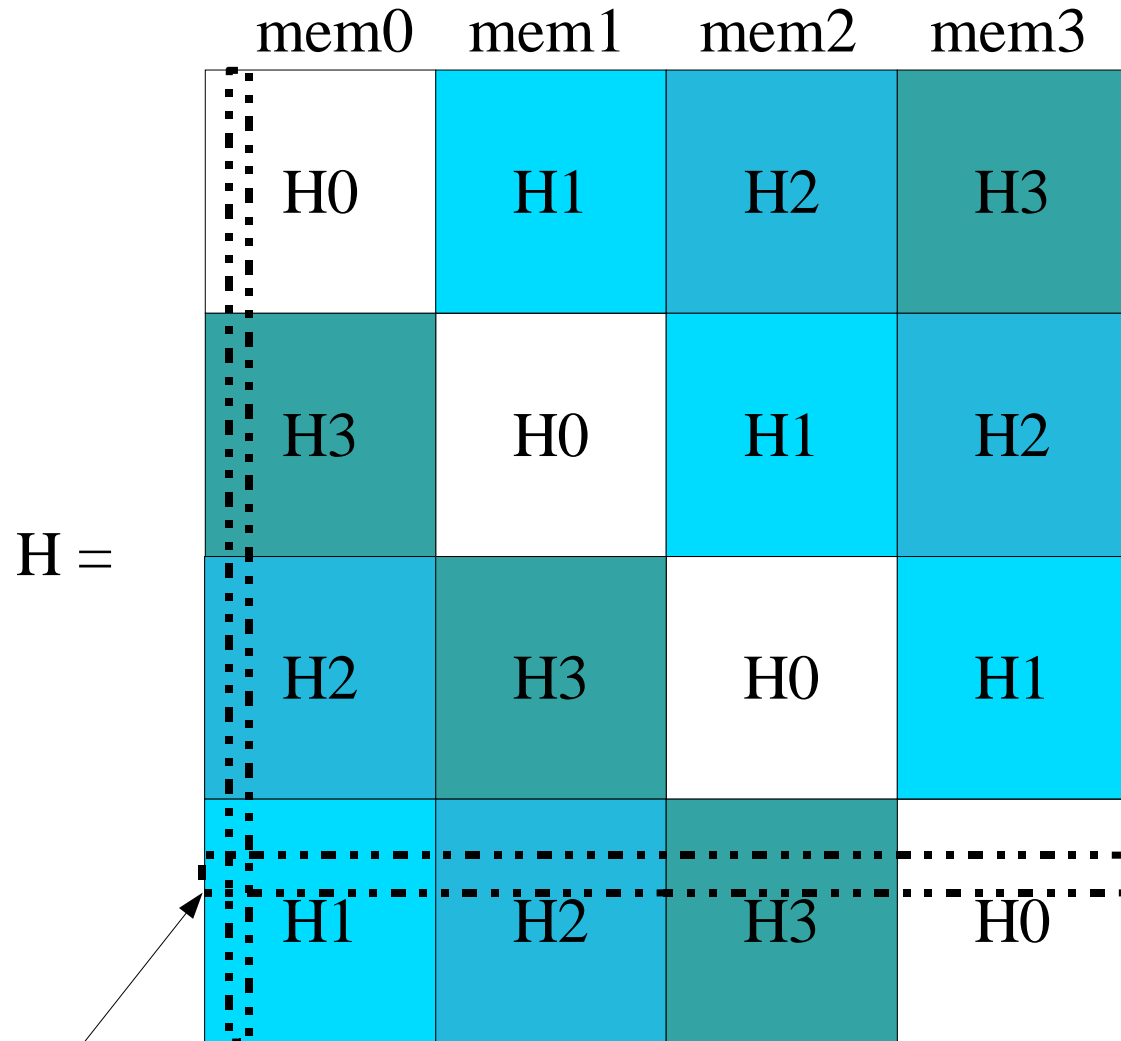
Construction du code parallèle (2PE)



Création des branches inter-partitions



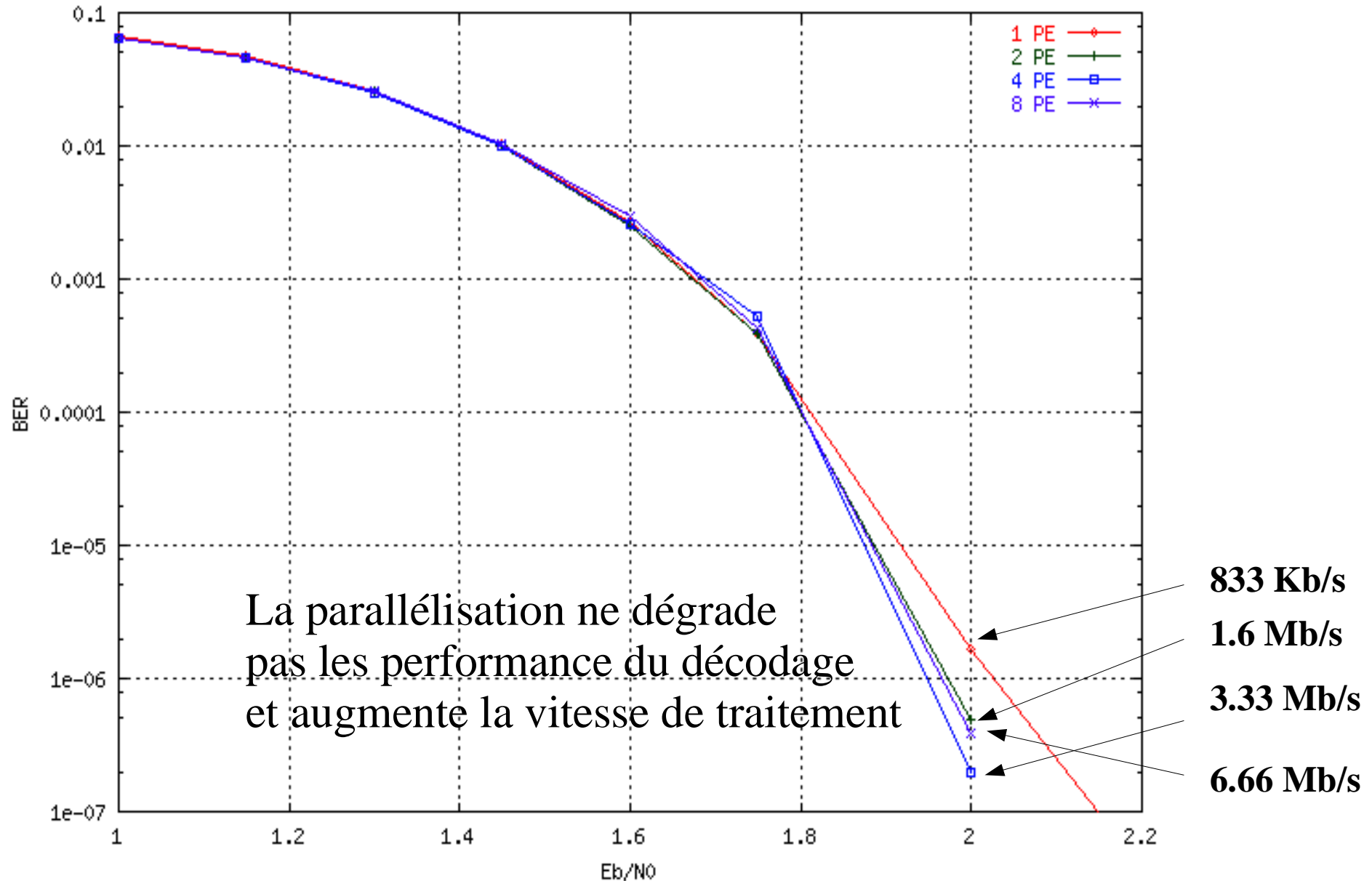
Construction du code parallèle (4 PE)



Le code reste régulier

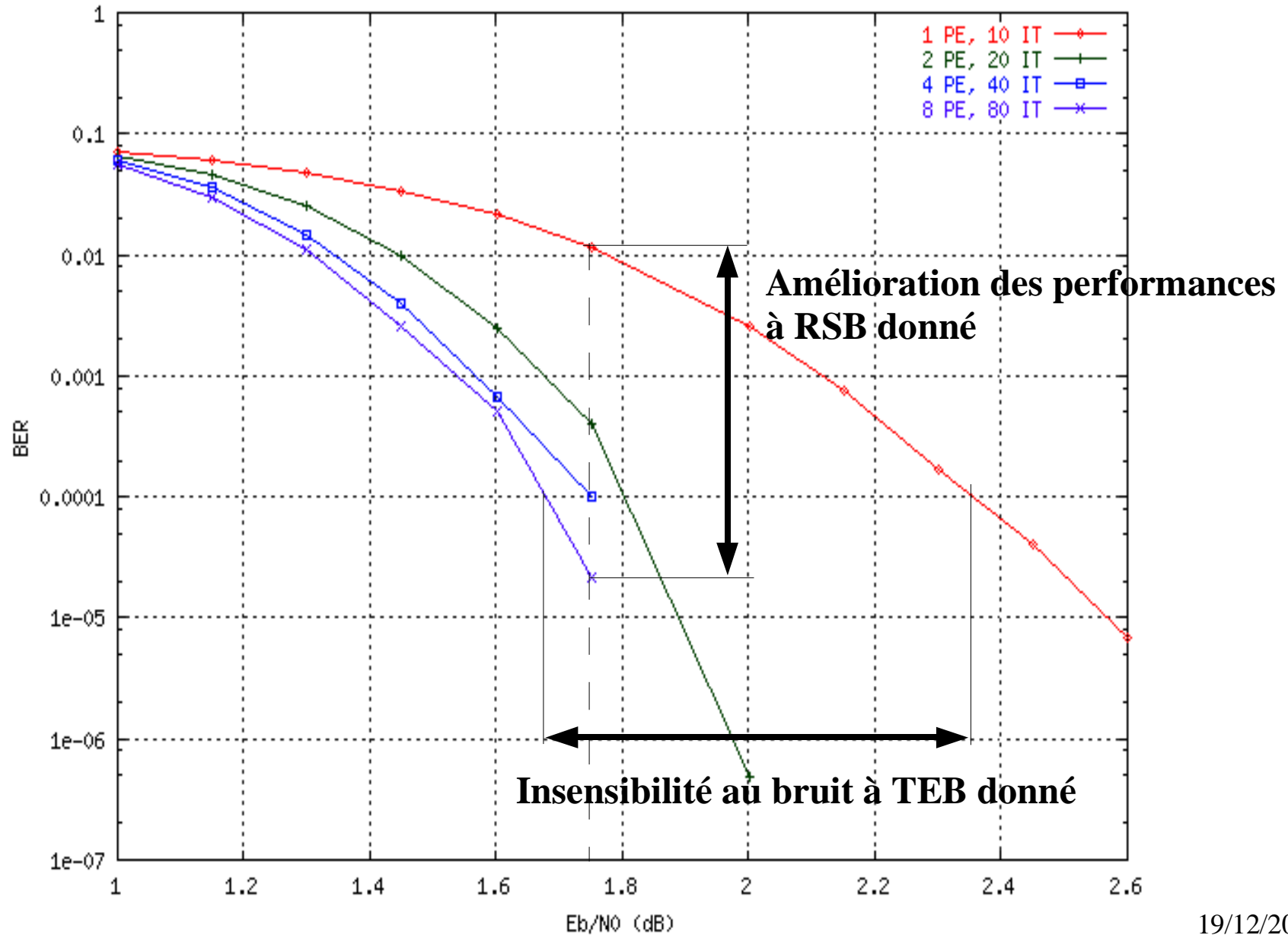
Effets de la parallélisation

Code congruent (4096,-,3,6) iteration 20



Effets de la parallélisation

Effet de la parallélisation a debit constant (615 us / 100 Mhz)



4. Conséquences du calcul en précision finie...



Conséquences du Codage en Précision Finie

David Declercq[†] & Francois Verdier[†]

ETIS ENSEA/UCP/CNRS-8051

6, avenue du Ponceau 95000 Cergy-Pontoise

`declercq@ensea.fr`

[†] DANS LE CADRE DE L'ACTION JEMSTIC CNRS



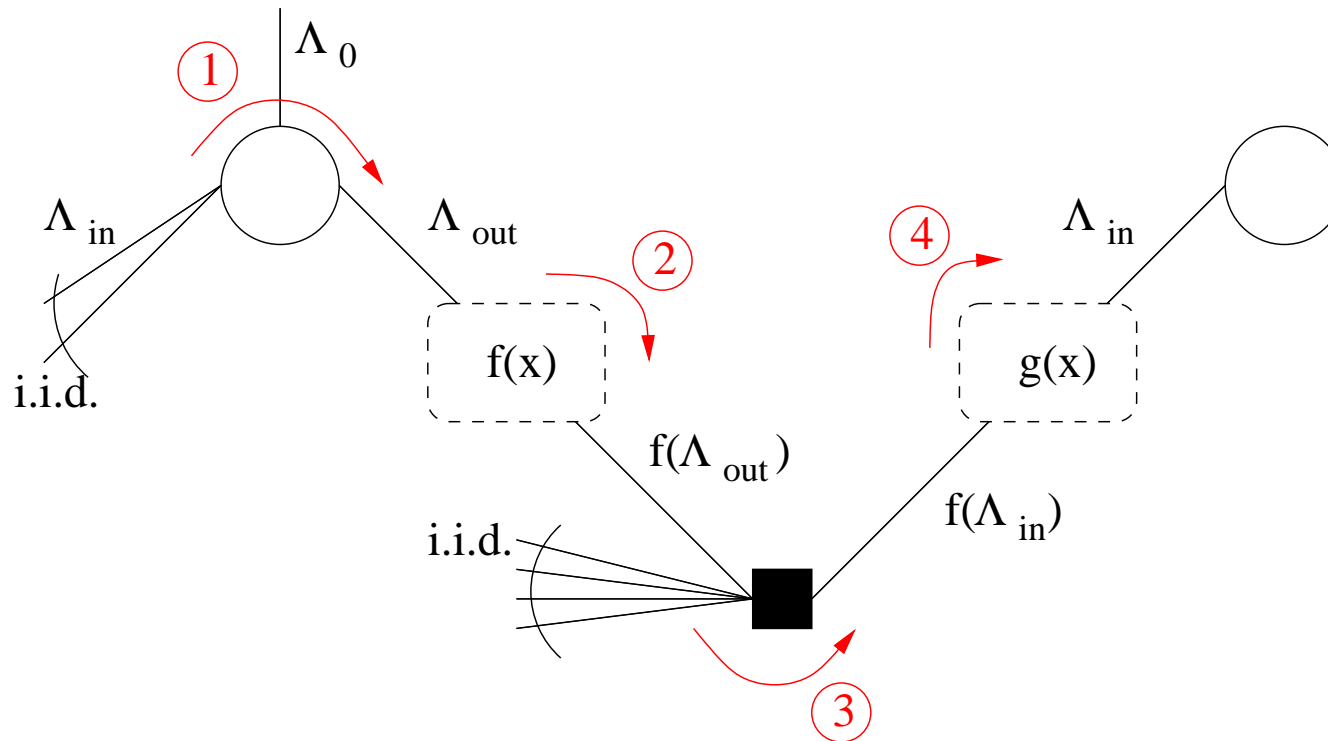
CONSÉQUENCES DU CODAGE EN PRÉCISION FINIE

Problèmes posés :

- Quantification des messages.
- Quantification des LUT.
 - ⇒ Peut-on prévoir l'effet sur les performances du code.
 - dégradation des performances,
 - apparition d'un plancher de convergence.

Outil statistique : évolution de la densité de probabilité des messages au cours des itérations.

EVOLUTION DE DENSITÉ



$$f(x) = \log \tanh \left(\frac{|x|}{2} \right)$$

$$g(x) = 2 \tanh^{-1} \exp(x)$$



HYPOTHÈSES DE TRAVAIL

DYN : nombre de bits codant la partie entière

PREC : nombre de bits codant la partie fractionnaire

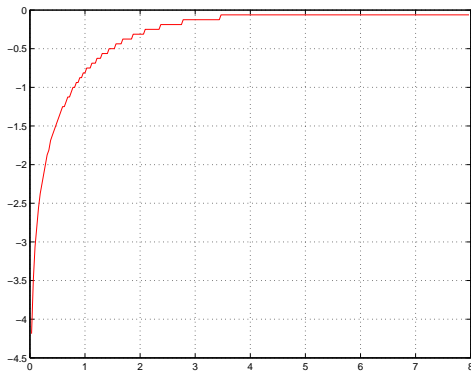
$$\{\Lambda_0(\omega), \Lambda_{in}(\omega), \Lambda_{out}(\omega)\}$$

⇒ V.A. discrètes à support dans $\left[-DYN + \frac{1}{2^{PREC}} : \frac{1}{2^{PREC}} : DYN - \frac{1}{2^{PREC}}\right]$

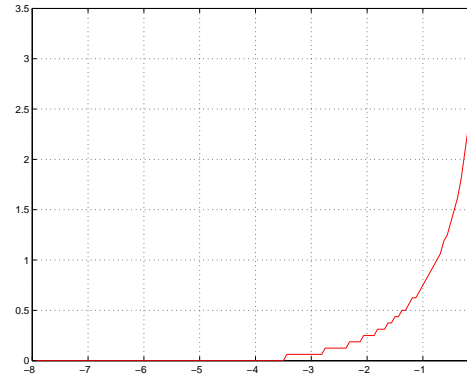
$$\{f(\Lambda_{in}(\omega)), f(\Lambda_{out}(\omega))\}$$

⇒ V.A. discrètes à support dans $\left[-DYN + \frac{1}{2^{PREC}} : \frac{1}{2^{PREC}} : 0\right]$

Fonction $f(x) = \log \tanh\left(\frac{|x|}{2}\right)$



Fonction $g(x) = 2 \tanh^{-1} \exp(x)$





EVOLUTION DES DENSITÉS POUR 1 ITÉRATION

$$\boxed{1} \quad \Lambda_{out} = \Lambda_0 + 2 \Lambda_{in}$$

$$\Rightarrow p(\Lambda_{out}) = p(\Lambda_0) * p(\Lambda_{in}) * p(\Lambda_{in})$$

$$\boxed{2} \quad f(\Lambda_{out}) = \log \tanh\left(\frac{|\Lambda_{out}|}{2}\right)$$

\Rightarrow Changement de variable + quantification.

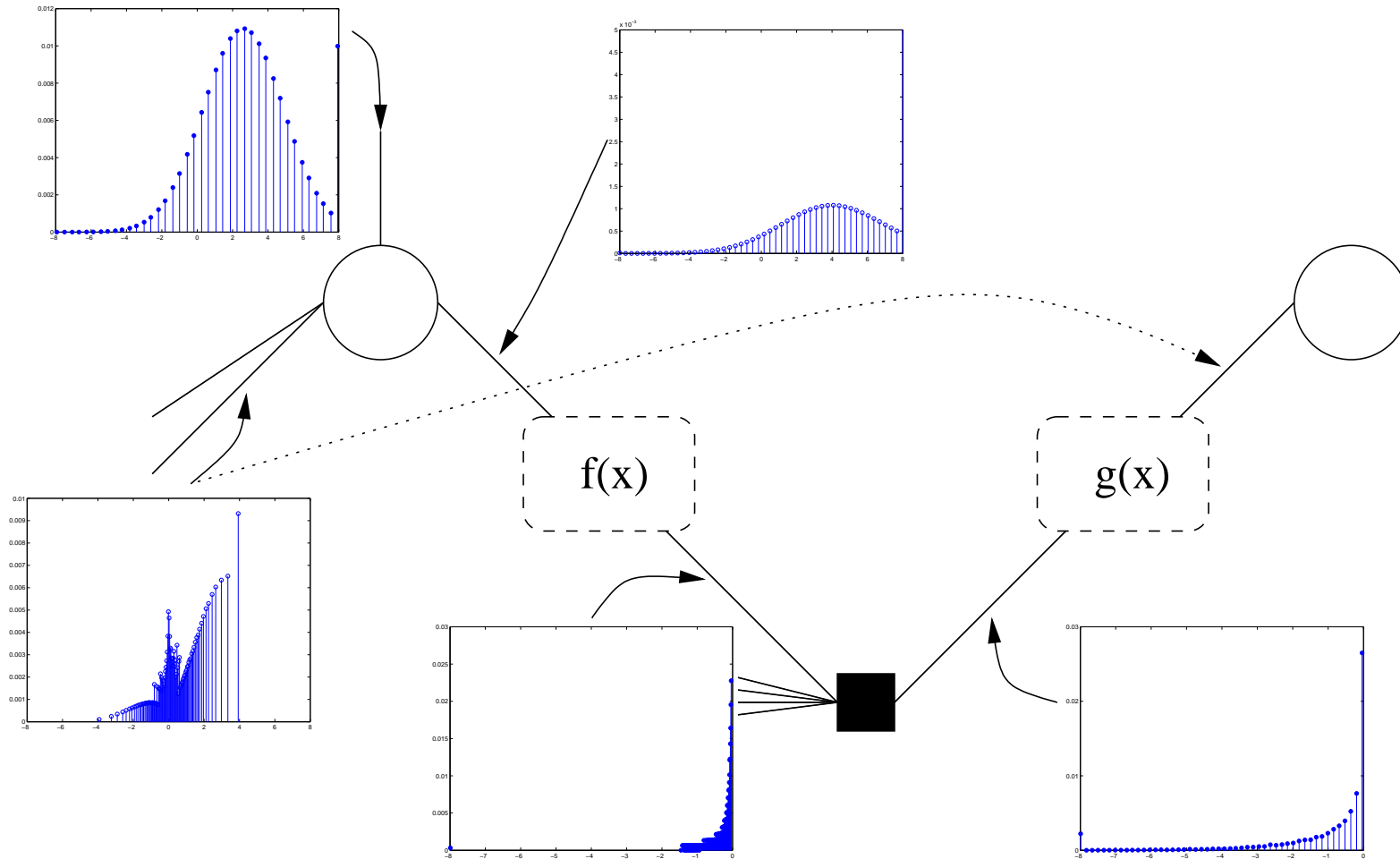
$$\boxed{3} \quad f(\Lambda_{in}) = 5 f(\Lambda_{out})$$

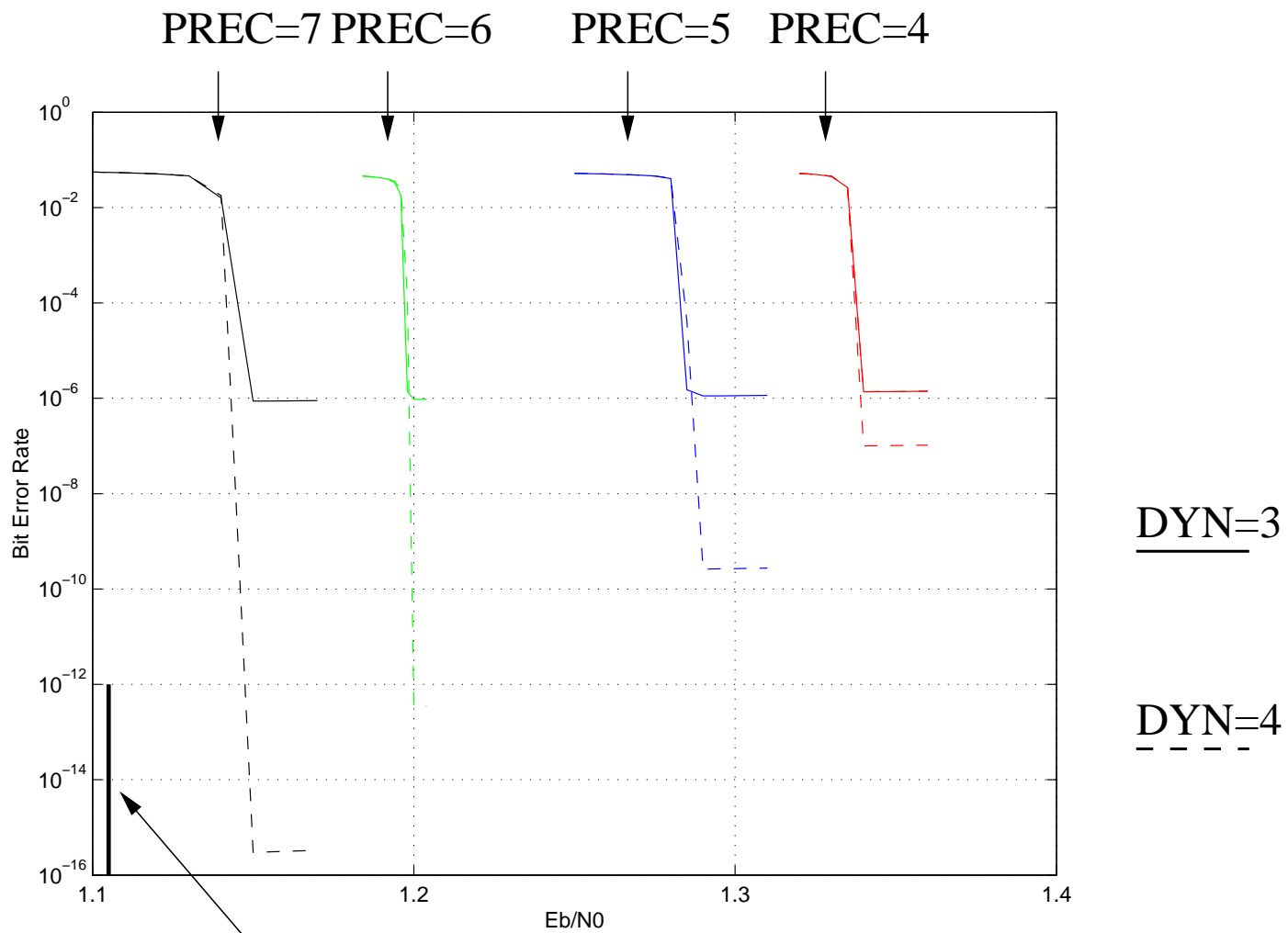
$$\Rightarrow p(f(\Lambda_{in})) = p(f(\Lambda_{out}))^{*5}$$

$$\boxed{4} \quad \Lambda_{in} = 2 \tanh^{-1} \exp(f(\Lambda_{in}))$$

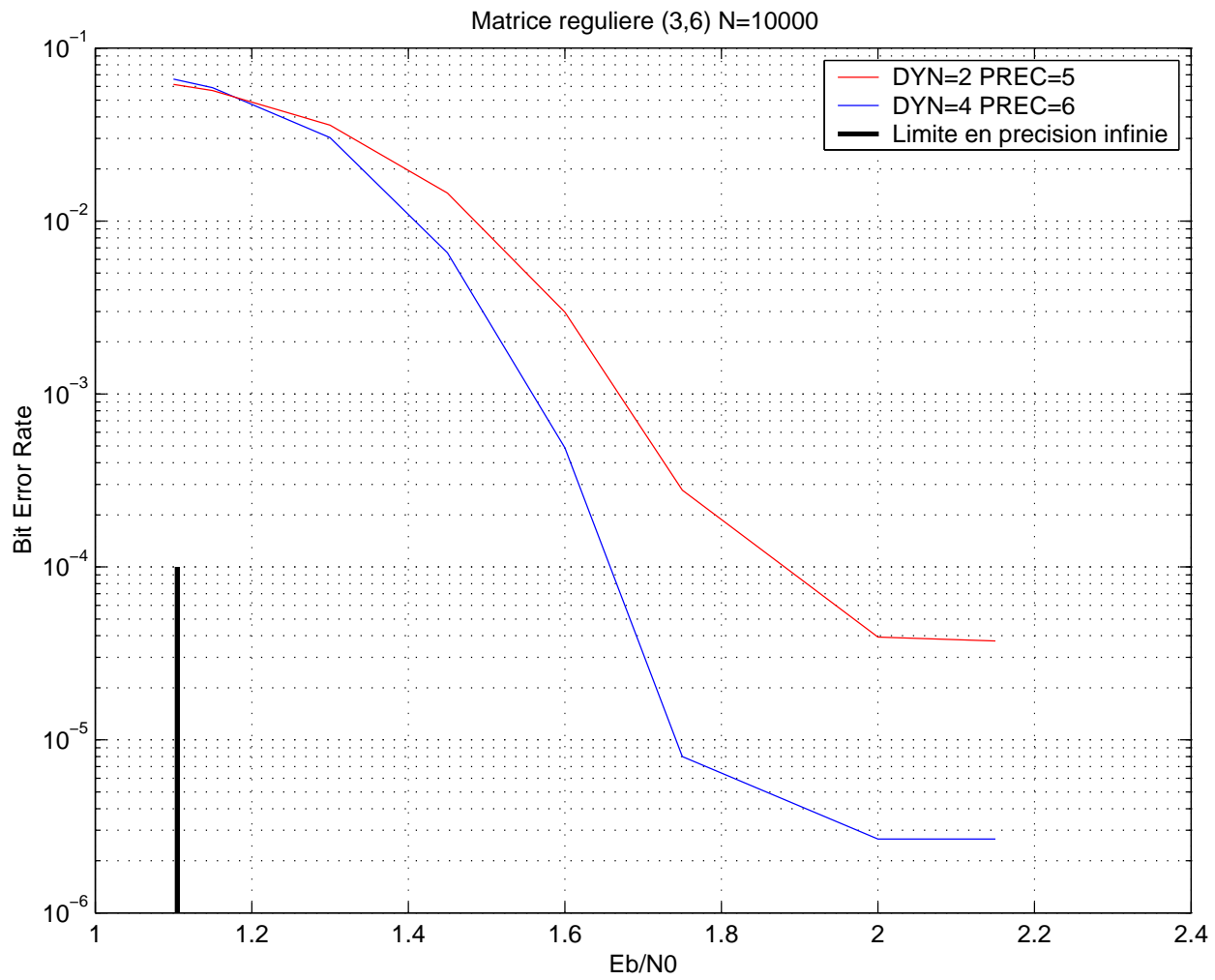
\Rightarrow Changement de variable + quantification.

FORME DES DENSITÉS





Limite en précision infinie





CONCLUSION ET PERSPECTIVES

1. Modèle de parallélisation des codes LDPC.
 - ❑ architecture simple et scalable,
 - ❑ stockage du graphe de façon congruente,
 - ❑ méthode de parallélisation sans dégradation de performances.
2. Parallélisme pour les codes LDPC irréguliers
 - ❑ problèmes de stockage du graphe,
 - ❑ effets de la précision finie.